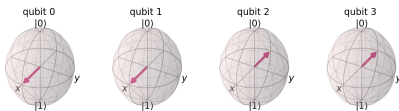
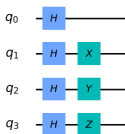


Sur les circuits classiques, réversibles et quantiques

Yvan Le Borgne,
GT Informatique Quantique

8 avril 2020



Références maltraitées (en plus des précédentes)

- ▶ <https://qiskit.org/textbook>: Chapitres 1 (Quantum States and Qubits) et 2 (Multiple Qubits and Entanglement).
- ▶ *Elementary gates for quantum computation* de Barenco, Bennett, Cleve, DiVicenzo, Margolus, Shor, Sleator, Smolin, Weinfurter en 1995.
- ▶ *The classification of reversible bit operations* de Aaronson, Grier et Schaeffer, 2015.
- ▶ *The classification of stabilizer operations over Qubits* de Grier et Schaeffer, 2016.
- ▶ *An introduction to quantum error correction and fault-tolerant quantum computation* de Gottesman 2009.

Plan

- **1● Circuits classiques:** Notation matricielle, composition des portes en séquence (produit matriciel) ou en parallèle (produit tensoriel), deux jeux de portes universelles (Treillis de Post) $\{\text{AND, OR, NOT}\} \cup \{\text{SWAP, COPY}\}$ et $\{\text{NAND}\} \cup \{\text{SWAP, COPY}\}$.
- **2● Circuits réversibles:** Portes inversibles (CNOT, Toffoli, Fredkin, ...), Portes contrôlées, Classification des jeux de portes.
- **3● Circuits quantiques:** Qubits, Portes unitaires (dont Pauli X, Y, Z , Hadamard H , $\pi/8$), Interférences de Mach-Zender comme une réalisation de circuit quantique, Mesures (dans différentes bases: BB84), Universalité (+Théorème de Solovay Kitaev).
- **4● Des circuits quantiques simulables malgré la superposition:** Stabilisateurs ou quand la sphère de Bloch est remplacée par un cube (Théorème de Gottesman, Knill)
- **5● Un peu de correction d'erreur classique et quantique:** Correction classique par répétition et majorité. Code de Shor à 9 qubits pour la correction quantique.

•1• Circuits classiques

Notation “ket” pour les registres

Un bit $|b\rangle \in \{|0\rangle, |1\rangle\}$,

Deux bits $|b_0 b_1\rangle = |b_0\rangle \otimes |b_1\rangle \in \{|00\rangle, |01\rangle, |10\rangle, |11\rangle\}$

... n bits $|b_0 \dots b_{n-1}\rangle$ dans $(|0\rangle + |1\rangle)^{\otimes n}$.

Ce produit cartésien se généralise en produit tensoriel par exemple si $|b\rangle = p|0\rangle + (1-p)|1\rangle$ et $|b'\rangle = p'|0\rangle + (1-p')|1\rangle$ sont deux bits probabilistes *indépendants* alors

$$|bb'\rangle = |b\rangle \otimes |b'\rangle$$

$$:= pp'|00\rangle + p(1-p')|01\rangle + (1-p)p'|10\rangle + (1-p)(1-p')|11\rangle.$$

Dans le cas quantique, le produit tensoriel travaillera avec des nombres complexes au lieu des booléens ou des réels de $[0, 1]$ et traduira la non-intrication (l'indépendance) des sous-systèmes.

Matrices booléennes pour les portes logiques classiques

Pour $n = 2$, l'état d'un registre est une combinaison linéaire des $2^n = 4$ états possibles:

$$|r\rangle = b_{00}|00\rangle + b_{01}|01\rangle + b_{10}|10\rangle + b_{11}|11\rangle = \begin{pmatrix} b_{00} \\ b_{01} \\ b_{10} \\ b_{11} \end{pmatrix}$$

avec exactement un seul coefficient booléen b_{ij} non-nul.

Une porte logique $G = (?_{i,j})_{0 \leq i,j \leq 4}$ avec deux bits en entrée et deux bits en sortie comme SWAP ou CNOT est représentée par une matrice $2^2 \times 2^2$.

$$\begin{matrix} & \begin{matrix} 00 & 01 & 10 & 11 \end{matrix} \\ \begin{matrix} 00 \\ 01 \\ 10 \\ 11 \end{matrix} & \begin{pmatrix} ? & ? & ? & ? \\ ? & ? & ? & ? \\ ? & ? & ? & ? \\ ? & ? & ? & ? \end{pmatrix} \end{matrix} \begin{pmatrix} b_{00} \\ b_{01} \\ b_{10} \\ b_{11} \end{pmatrix} = \begin{pmatrix} b'_{00} \\ b'_{01} \\ b'_{10} \\ b'_{11} \end{pmatrix}$$

Exemples de portes

$$\text{Id} := \begin{pmatrix} 1 & 0 \\ 0 & 1 \end{pmatrix} \quad \text{NOT} := X := \begin{pmatrix} 0 & 1 \\ 1 & 0 \end{pmatrix}$$

$$\text{AND} := \begin{pmatrix} 1 & 1 & 1 & 0 \\ 0 & 0 & 0 & 1 \end{pmatrix} \quad \text{OR} := \begin{pmatrix} 1 & 0 & 0 & 0 \\ 0 & 1 & 1 & 1 \end{pmatrix}$$

$$\text{NAND} := \begin{pmatrix} 0 & 0 & 0 & 1 \\ 1 & 1 & 1 & 0 \end{pmatrix} \quad \text{SWAP} := \begin{pmatrix} 1 & 0 & 0 & 0 \\ 0 & 0 & 1 & 0 \\ 0 & 1 & 0 & 0 \\ 0 & 0 & 0 & 1 \end{pmatrix}$$

$$\text{COPY} := \begin{pmatrix} 1 & 0 \\ 0 & 0 \\ 0 & 0 \\ 0 & 1 \end{pmatrix} \quad \text{CNOT} := \begin{pmatrix} 1 & 0 & 0 & 0 \\ 0 & 1 & 0 & 0 \\ 0 & 0 & 0 & 1 \\ 0 & 0 & 1 & 0 \end{pmatrix}$$

CNOT applique NOT sur le second bit si le premier bit est $|1\rangle$.
(ReLU's style)

Exemples de portes contrôlées

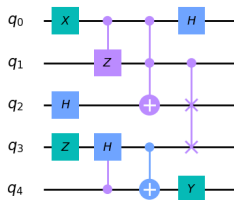
(*Fredkin*) $\text{FRE} := \text{CSWAP} := ?$

(*Toffoli*) $\text{TOF} := \text{CCNOT} := ?$

Pour une porte G , sa version contrôlée CG utilise un bit de plus en entrée et sortie qui n'est que lu: la porte G n'est appliquée sur les bits ciblés que si le bit de contrôle est $|1\rangle$.

Remarque: si k bits de contrôle, égaux à $|1^k\rangle$ pour déclencher la porte G sur les bits ciblés, on a aussi la notation $\Lambda^k(G)$ (par exemple $\text{TOF} := \Lambda^2(\text{NOT})$).

Circuits par composition de portes en série et en parallèle



$$H \otimes \text{CSWAP} \otimes Y$$

o

$$\text{CCX} \otimes \text{CX}$$

o

$$\text{CZ} \otimes \text{Id} \otimes (\text{SWAP} \circ \text{CH})$$

o

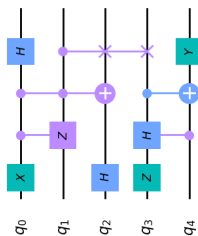
$$X \otimes \text{Id} \otimes H \otimes Z \otimes \text{Id}$$

$$|q_0 q_1 q_2 q_3 q_4 \rangle$$

Composition en série = Produit de matrice (ici o).

Composition en parallèle = Produit tensoriel de matrices.

Circuits par composition de portes en série et en parallèle



$$H \otimes \text{CSWAP} \otimes Y$$

o

$$\text{CCX} \otimes \text{CX}$$

o

$$\text{CZ} \otimes \text{Id} \otimes (\text{SWAP} \circ \text{CH})$$

o

$$X \otimes \text{Id} \otimes H \otimes Z \otimes \text{Id}$$

$$|q_0 q_1 q_2 q_3 q_4 \rangle$$

Composition en série = Produit de matrice (ici o).

Composition en parallèle = Produit tensoriel de matrices.

Un jeu de portes universelles pour les fonctions booléennes

$$\mathbb{B} := \{|0\rangle, |1\rangle\}.$$

Une fonction booléenne est une fonction $f : \mathbb{B}^n \rightarrow \mathbb{B}$.

Un jeu de porte $\{G_i\}_i$ est universel si toute fonction booléenne s'exprime à l'aide d'un circuit composé de ces portes (avec éventuellement quelques bits auxiliaires initialisés à $|0\rangle$ en plus).

Proposition: $\{\text{AND}, \text{OR}, \text{NOT}\} \cup \{\text{SWAP}, \text{COPY}\}$ est universel.

Preuve où les COPY et SWAP sont implicites:

$$f(w) = \bigvee_{v|f(v)=|1\rangle} (w = v) = \bigvee_{v|f(v)=|1\rangle} \left(\bigwedge_{i=0}^{n-1} \text{NOT}^{1-v_i}(w_i) \right)$$

□

Un jeu universel avec moins de portes

Proposition: $\{\text{NAND}\} \cup \{\text{SWAP}, \text{COPY}\}$ est universel.

Preuve:

$$\text{NOT} := \text{NAND} \circ \text{COPY}.$$

$$\text{AND} := \text{NOT} \circ \text{NAND}.$$

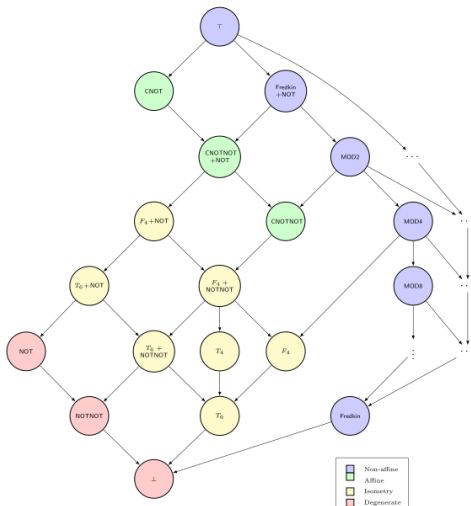
$$\text{OR} := \text{NAND} \circ (\text{NOT} \otimes \text{NOT}).$$



Deux type de portes de moins à concevoir mais peut-être des circuits plus gros.

•2• Circuits reversibles

Classification des jeux de portes reversibles [AGS15]



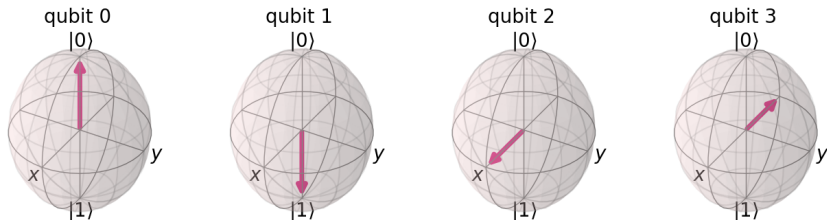
$T := \text{TOF}$, $\text{Fredkin} := \text{CSWAP}$, $\text{NOTNOT} := \text{NOT} \otimes \text{NOT}$,
 $\text{MOD}2^k := \text{CSWAP} + \text{échange } 0^k \text{ et } 1^k \text{ laissant le reste invariant.}$
 $T^k(x) := \text{NOT}^{\otimes k}(x)$ si $|x| := \bigoplus_{i=0}^{k-1} x_i$ est impair, sinon x .
 $F^k := \text{NOT}^{\otimes k} \circ T^k$.

•3• Circuits quantiques

Quantum bit (Qubit) et sphère de Bloch

$$|b\rangle = \alpha|0\rangle + \beta|1\rangle = \cos(\theta/2)|0\rangle + e^{i\phi} \sin(\theta/2)|1\rangle$$

où $\alpha, \beta \in \mathbb{C}$ et $|\alpha|^2 + |\beta|^2 = 1 = \alpha\bar{\alpha} + \beta\bar{\beta}$, $\theta \in [0, \pi]$, $\phi \in [0, 2\pi]$.



$$\begin{array}{cccc} |0\rangle & |1\rangle & \frac{1}{\sqrt{2}}(|0\rangle + |1\rangle) & \frac{1}{\sqrt{2}}(|0\rangle - |1\rangle) \\ \theta = 0, \phi = 0 & \theta = \pi, \phi = 0 & \theta = \pi/2, \phi = 0 & \theta = \pi/2, \phi = \pi \end{array}$$

A partir d'un état $|q\rangle = \sum_i \alpha_i |i\rangle$ décrit dans une base $(|i\rangle)_i$ par les amplitudes $(\alpha_i)_i$, la probabilité de mesurer/projeter l'état $|q\rangle$ en l'état déterministe $|i\rangle$ est $\alpha_i \bar{\alpha}_i = |\alpha_i|^2$

Portes quantique, transformations unitaires

$$|b\rangle = \sum_i \alpha_i |i\rangle$$

$$\sum_i |\alpha_i|^2 = 1 = \sum_i \alpha_i \bar{\alpha}_i = (\alpha, \bar{\alpha}) =: \|\alpha\|^2$$

où $\alpha := (\alpha_i)_i$ est le vecteur des amplitudes.

Une porte quantique G doit préserver la mesure de probabilité donc la matrice G doit préserver la distance $\|\cdot\|$ car en terme de vecteur d'amplitudes $\|\alpha\|^2 = 1 = \|G\alpha\|^2$.

Cette condition nécessaire mène avec des arguments de la physique au fait que les portes quantiques G correspondent aux transformations unitaires: $GG^* = \text{Id} = G^*G$ où l'inverse $G^* := \bar{G}^t$.

Ex: Porte à 1 qubit du "jeu d'instructions" QASM (IBM),

$$U_3(\theta, \phi, \lambda) := \begin{pmatrix} \cos \theta/2 & -e^{i\lambda} \sin(\theta/2) \\ e^{i\phi} \sin(\theta/2) & e^{i\lambda+i\phi} \cos(\theta/2) \end{pmatrix}.$$

Un peu de zoologie sur les portes quantiques

$$U_3(\theta, \phi, \lambda) := \begin{pmatrix} \cos \theta/2 & -e^{i\lambda} \sin(\theta/2) \\ e^{i\phi} \sin(\theta/2) & e^{i\lambda+i\phi} \cos(\theta/2) \end{pmatrix}, (\theta, \phi, \lambda) \in [0, 4\pi)^3;$$

$$\text{Id} := U_3(0, 0, 0) = \begin{pmatrix} 1 & 0 \\ 0 & 1 \end{pmatrix}; (\text{Hadamard})\text{H} := \frac{1}{\sqrt{2}} \begin{pmatrix} 1 & 1 \\ 1 & -1 \end{pmatrix};$$

$$\text{NOT} := X := \begin{pmatrix} 0 & 1 \\ 1 & 0 \end{pmatrix}; Y := \begin{pmatrix} 0 & -i \\ i & 0 \end{pmatrix}; Z := \begin{pmatrix} 1 & 0 \\ 0 & -1 \end{pmatrix};$$

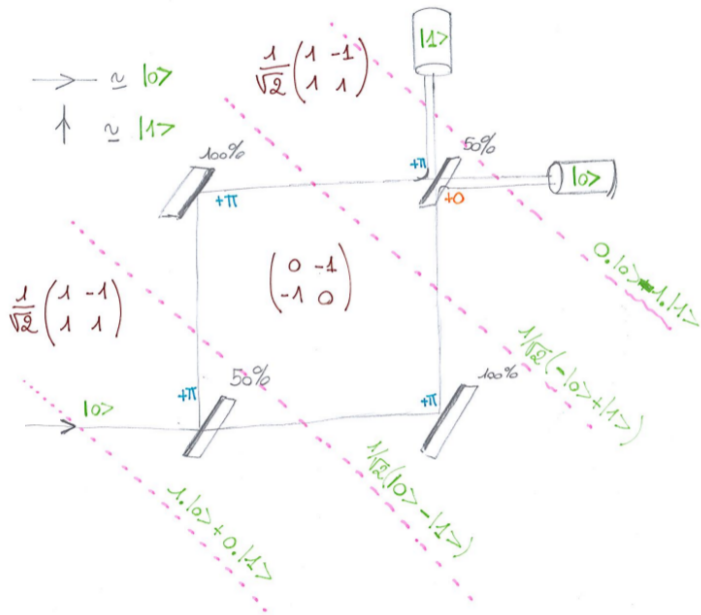
X, Y, Z forment les portes de Pauli.

$$R_\phi := \begin{pmatrix} 1 & 0 \\ 0 & e^{i\phi} \end{pmatrix}; S := \sqrt{Z} := R_{\pi/2}; T := \sqrt{\sqrt{Z}} := R_{\pi/4};$$

$$\text{SWAP} := \begin{pmatrix} 1 & 0 & 0 & 0 \\ 0 & 0 & 1 & 0 \\ 0 & 1 & 0 & 0 \\ 0 & 0 & 0 & 1 \end{pmatrix} \quad \text{CNOT} := \begin{pmatrix} 1 & 0 & 0 & 0 \\ 0 & 1 & 0 & 0 \\ 0 & 0 & 0 & 1 \\ 0 & 0 & 1 & 0 \end{pmatrix}$$

(Fredkin)FRE := CSWAP (Toffoli)TOF := CCNOT

$H \circ X \circ H |0\rangle = |1\rangle$ et l'interferomètre de Mach-Zehnder



BB84 pour illustrer les mesures dans différentes bases

Jeux de portes universels ou non

Universels:

$\{\text{CNOT}, (U_3(\theta, \phi, \lambda))_{(\theta, \phi, \lambda) \in [0, 4\pi]^3}\}$ [Barenco et al]

$\{\text{H}, \text{TOF}\}$ [Shi]

$\{\text{NOT}, \text{SWAP}, \text{TOF}\} \cup \{\text{H}, \text{T} = R_{\pi/4}\}$ [Kitaev, Shen, Vialyi]

Non-universels:

Jeux préservant les bases (comme $\{\text{SWAP}\}$).

Les jeux de portes manipulant un seul qubit.

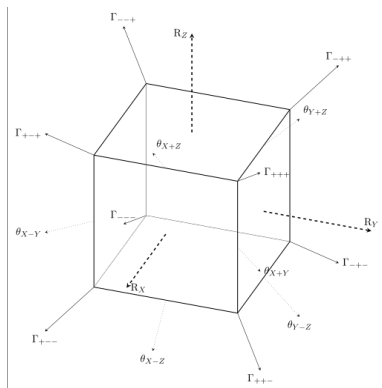
Les stabilisateurs $\{\text{CNOT}, \text{H}, \text{S} = R_{\pi/2}\}$.

Théorème (Solovay-Kitaev): Pour tout jeu de porte universel $\mathcal{G} := \{G_i\}_i$, et toute précision $\epsilon > 0$ souhaitée, il existe une constante c telle que pour toute transformation unitaire U , il existe un \mathcal{G} -circuit d'au plus $O(\log^c(1/\epsilon))$ portes générant une transformation unitaire S à distance au plus ϵ de U .

●4● Circuits quantiques simulables

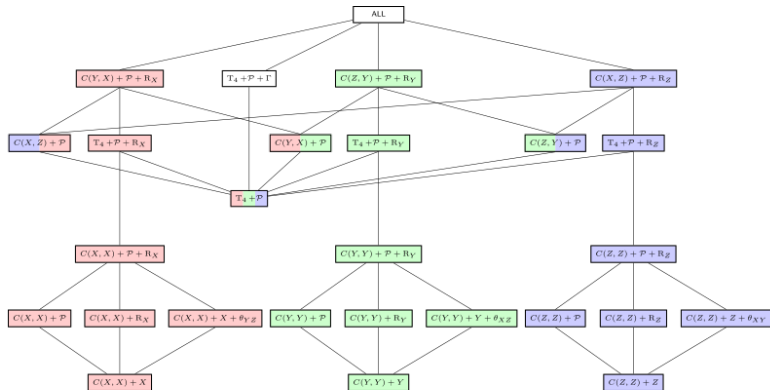
Théorème de Gottesman et Knill autour des stabilisateurs

Les $\{H, S = R_{\pi/2}, \text{CNOT}\}$ -circuits avec des mesures “sur les bases de Pauli” forment un jeu de portes non-universelle autorisant la superposition d'états.



Théorème Ces circuits quantiques sont simulables parfaitement en temps polynomial par une machine classique probabiliste

Classification des circuits de stabiliseurs [GS16]



17

Figure 5: The inclusion lattice of non-degenerate stabilizer gate classes. Red, green, blue denote X -, Y -, and Z -preserving, respectively.

Généralisation de la porte CNOT pour deux portes P et Q :

$$C(P, Q) = \frac{1}{2} (\text{Id} \otimes \text{Id} + P \otimes \text{Id} + \text{Id} \otimes Q - P \otimes Q)$$

Exemple: $\text{CNOT} := C(Z, X)$.

- 5● Correction d'erreur, tolérance aux fautes

Correction d'erreur vs Tolérance aux fautes

- Correction d'erreur: Des erreurs peuvent avoir été commises et on dispose de moyens de calcul sans erreur pour les corriger.
- Tolérance aux fautes: Des erreurs peuvent avoir été commises et on dispose de moyens de calcul susceptible également de faire des erreurs pour les corriger.
 - ⇒ Introduction à la simple correction d'erreur classique et quantique.
 - ⇒ La multiplicité des bases universelles est motivée par des aspects de tolérance aux fautes.